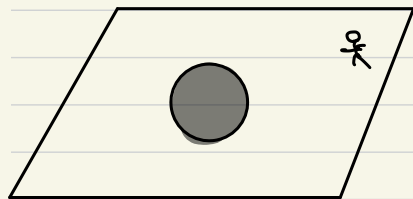


グラ...のホールの性質と

グラ...のホール熱力学

# ブラックホール



- ・ 高密度の天体が、重力崩壊してできた時空
- ・ アインシュタイン方程式の解

(4次元) シュワルツシルトブラックホール

$$ds^2 = -\left(1 - \frac{2M}{r}\right) dt^2 + \frac{dr^2}{\left(1 - \frac{2M}{r}\right)} + r^2 (d\theta^2 + \sin^2\theta d\phi^2)$$

$M$ : BHの質量

$$\underline{r^2 = 0}$$

特徴的な面:

- $r = 0$ : 時空の曲率が発散:  $R_{\mu\nu\rho\sigma} R^{\mu\nu\rho\sigma} = \infty$   
特異点  $\Rightarrow$  古典論が破綻 (与えられよう..)
- $r = 2M$ : 事象の地平面 (座標系にとりかたか異なる)

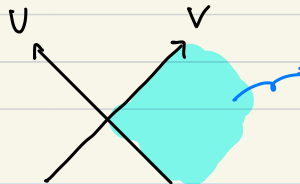
# Kruskal 座標

BH 時空の因果構造を見ることがするために、新たな座標系を導入する

Step 1  $ds^2|_{(r,t)} = -f(r) dt^2 + \frac{dr^2}{f(r)} = f(r) \left[ -dt^2 + \underbrace{\left( \frac{dr}{f(r)} \right)^2}_{= dr_*^2} \right] = f(r) \left[ -dt^2 + dr_*^2 \right]$

$$r_* = r + 2M \log \left| \frac{r-2M}{2M} \right| : 2M < r < \infty \Leftrightarrow -\infty < r_* < \infty$$

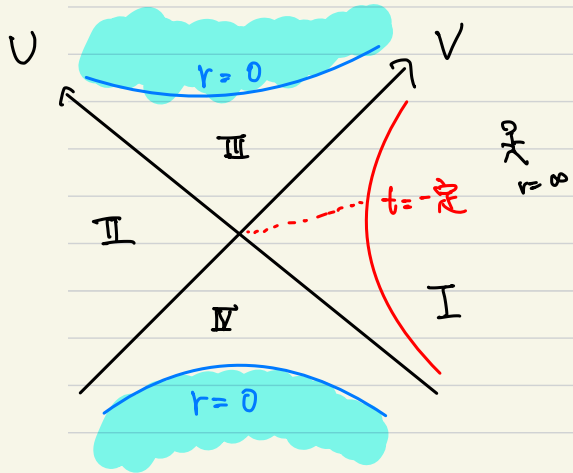
Step 2 
$$\begin{cases} U = -e^{-\frac{1}{4M}(t-r_*)} \\ V = e^{\frac{1}{4M}(t+r_*)} \end{cases} \quad -\infty < (t, r_*) < \infty \Rightarrow \begin{cases} -\infty < U < 0 \\ 0 < V < \infty \end{cases}$$



$(r_*, t)$  座標は  
ペンローズ図の一部しか  
表わさない

# BHの因果構造

Kruskal 座標で見ると BH metric



$$ds^2 = -\left(\frac{32M^3}{r} e^{-r/2M}\right) du dv + r^2 d\Omega^2$$

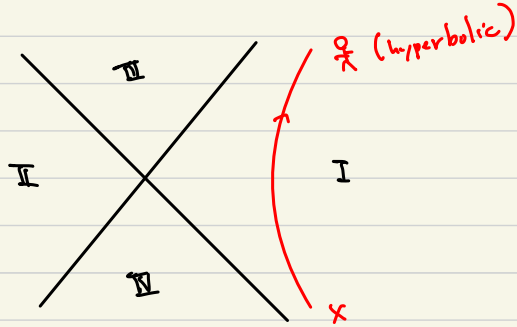
$$r(u,v) \text{ は } UV = -\left(\frac{r-2M}{2M}\right) e^{r/2M}$$

- BHの外側  $r > 2M \Leftrightarrow UV < 0$  : region I, II
- BHの内側  $r < 2M \Leftrightarrow UV > 0$

我々の住んでる宇宙 (領域 I) が別の宇宙 (領域 II) とつながる (Einstein Rosen 橋)

光の軌跡 =  $U = -定$  or  $V = -定$ .  $\Rightarrow r < 2M$  からは外側へ光は行かない  
 $\Rightarrow$  ブラックホールがブラックである理由

# Minkowski 空間, Rindler 座標



$$ds^2 = -dt^2 + dx^2 + dy^2 + dz^2$$

• 加速度  $k$  で運動する物体の軌跡

$$\begin{cases} x(\tau) = X \cosh(k\tau) \\ t(\tau) = X \sinh(k\tau) \end{cases}$$

$X$ : 軌跡上特做  
可能な定数.

• Minkowski 空間は自然に4つの領域に分かれる

}	region I, II ~ BH exterior
	region III, IV ~ interior

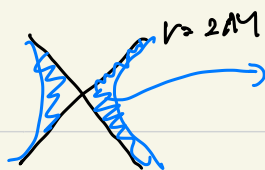
• 等加速運動のため, II からの光がどこにもない ~ 観測者にとこのホライズン

•  $(X, T)$  座標で見た計量:  
Rindler 座標

$$ds^2 \Big|_{(x,t)} = -k^2 X^2 dT^2 + dX^2$$

~ BH,  $r=2M$  付近での計量

# BH と Rindler 座標



Rindler 計量と  
2次元ミンコフスキ空間

BH の  $r=2M$  付近の計量:

$$ds^2 \Big|_{(r,t)} = -f(r) dt^2 + \frac{dr^2}{f(r)},$$

$$f(r) = 1 - \frac{2M}{r} \sim f'(r_h) (r - r_h)$$

$$\equiv \left( \frac{f'(r_h)}{2} \right)^2 \rho^2$$

$$\Rightarrow ds^2 = - \left( \frac{f'(r_h)}{2} \right)^2 \rho^2 dt^2 + d\rho^2.$$

$$\Rightarrow \kappa = \frac{f'(r_h)}{2} = \frac{1}{4M} \text{ と } \kappa < 2 \text{ になる}$$

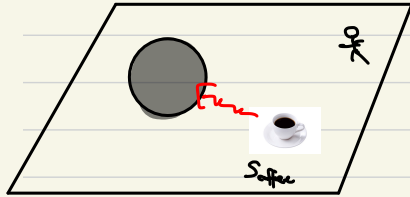
Rindler 計量とみられる

対応関係:

BH	Minkowski
シュワルツシルト $(r, t)$	リンドラー座標 $(X, T)$
クルスカール $(U, V)$	カタキアン座標 $(x, t)$
$r = \text{一定}$ の観測者	等加速運動する観測者

# ブラックホールの熱力学

wheeler



熱力学的

- BH にイベントーを持つ物体を投げ入れる  
 $\Rightarrow \Delta S = -S_{\text{Coffee}} < 0$  ? (第二法則が破れる?)

BH イベントー : BH は 事象の地平面の **面積** に比例するイベントーを持つ。

$$S_{\text{BH}} = \frac{A}{4G_N}$$

$S_{\text{BH}} \propto A$  は Bekenstein の  
予想。

係数 1/4 (以下 Hocking の法則)  
Hawking の予想。

$\Rightarrow$  Bekenstein Hawking イベントーと呼ばれる。

$$S_{\text{BH}} = \frac{A}{4G_N} \quad \text{が示唆する2と.}$$

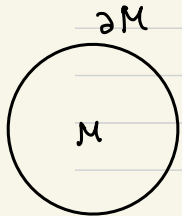
(1)  $S_{\text{BH}}$  が 熱力学 エントロピー である:

$\Rightarrow$  1つの BH が, 実は  $e^{S_{\text{BH}}}$  個, 微視的状態 からなる. (cf. 統計学)

( 該理論 によつて, 2つの状態を作る2, 3の数をおびえる2比較できる )

(2)  $S_{\text{BH}}$  が 体積ではなく, 面積 に比例する.

( cf. 固体のエンタルピー  
 $S_{\text{gas}} \propto V$  )



$\Rightarrow$  BH (重力) のは, 事象の地平面上に 局在 する自由度で記述できる

: ホログラフィー原理. (例: AdS/CFT対応)

Bekenstein  
限界

# BH Entropy の導出 (Sketch)

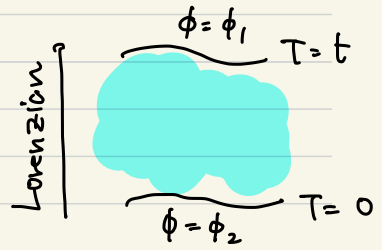
分配関数:  $Z(\beta) = \sum_n e^{-\beta E_n} \Rightarrow S = \left( \beta \frac{\partial}{\partial \beta} - 1 \right) \log Z$

ポイント:  $Z[\beta]$  の経路積分で計算する。

## 遷移振幅

$\langle \phi_1 | e^{-iHt} | \phi_2 \rangle = \int D\phi \Big|_{\substack{\phi(t) = \phi_1 \\ \phi(0) = \phi_2}} e^{iS[\phi]}$

*Lorentzian*

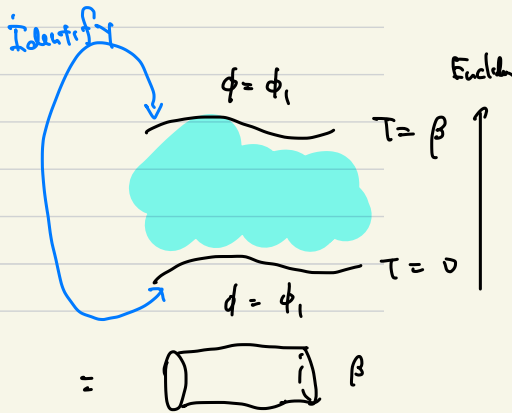


## 分配関数

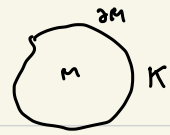
$Z(\beta) = \text{tr} [e^{-\beta H}] = \int D\phi_i \langle \phi_i | e^{-\beta H} | \phi_i \rangle$

*Euclidean*

$= \int D\phi \Big|_{\substack{\phi(\beta) = \phi_i \\ \phi(0) = \phi_i}} e^{-S[\phi]}$



# WKB (半古典) 近似



$$\Sigma(\beta) = \int \mathcal{D}g_{\mu\nu} e^{-\frac{1}{4} I_{\text{EH}}[g_{\mu\nu}]}$$

$$I_{\text{EH}}[g_{\mu\nu}] = \frac{1}{16\pi G} \int_M \sqrt{g} R dx^4 + \frac{1}{8\pi G} \int_{\partial M} \sqrt{h} K$$

- 半古典極限  $G \ll 1$  :  $\frac{\delta I_{\text{EH}}}{\delta g_{\mu\nu}} \Big|_{g=g_0} = 0$  をみたす  $g = g_0$  の奇点なし、支配的
  - $\downarrow$   $\frac{1}{h} G_N$
  - $\downarrow$  アインシュタイン方程式
  - $\downarrow$  プラックホール解

$$\Sigma(\beta) \sim e^{-I_{\text{EH}}[g_0]}$$

$$I_{\text{EH}}[g_0] = \frac{1}{16\pi G} \int_M \underbrace{\sqrt{g} R}_{\neq 0 (R_{\mu\nu}=0)} dx^4 + \frac{1}{8\pi G} \int_{\partial M} \sqrt{h} K$$

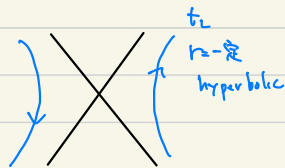
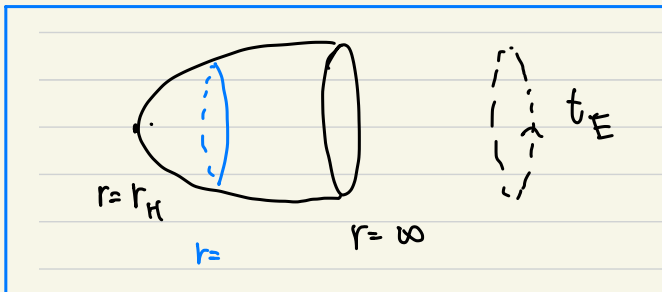
境界項のみが奇点可。

# I-7) 1) 極座標 BH

$$t \rightarrow it_E \quad ; \quad t_E \sim t_E + \beta$$

$$ds^2 = f(r) dt_E^2 + \frac{dr^2}{f(r)} + r^2 d\Omega^2 \quad \xrightarrow{r \rightarrow r_H} \quad \left(\frac{f'}{2}\right)^2 \rho^2 dt_E^2 + d\rho^2 + r_H^2 d\Omega^2$$

極座標  $\sim dr^2 + r^2 d\theta^2$



Localization



Euclidean

$r = r_H$  での Thermal cycle だ  $-\frac{\beta}{2} \leq t_E \leq \frac{\beta}{2}$  だ。

$$\rho = 0 \text{ 付近で Smooth} \Rightarrow \frac{f'}{2} \times \beta = 2\pi$$

∴ BH の 温度が  $M$  だ  
決まる。

$$T = \frac{1}{8\pi M}$$

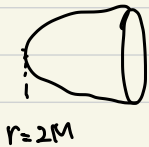
## BH, Semi classical action

$$I_{\text{EH}}[g_0] = \frac{1}{16\pi G} \int \sqrt{h}(K-K_0) dx^3 \Big|_{g=g_c} \Rightarrow S_{\text{BH}} = \frac{A}{4G}$$

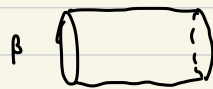
flat 空間に於ける  
extrinsic curvature.

## Remarks

- $r=2M$  に於いて,  $t_E$  は何らかの一点に縮むから  $I > t_E^0 - t_E$  non zero



$\in \mathbb{C}$



$$\Rightarrow I_{\text{EH}} = \beta \times (\beta \text{ は与えられた定数})$$

$$\Rightarrow I > t_E^0 - t_E = 0$$

$$e^{-S[g_0]} \sim \int_0^\beta dt_E \int dx^3 \sqrt{g} R + \int_0^\beta \kappa$$

$$\sim \beta ( \quad )$$

ブラッドフォードのホーキング放射  
と、量子相関

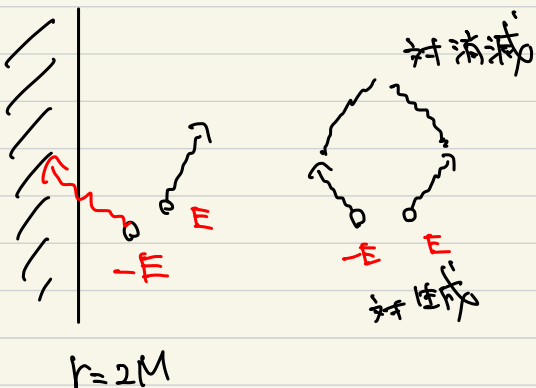
# BH の Hawking 放射

◦ BH について, (少なくとも形式的に) 温度とエントロピーが定義できた。

◦ 温度を持つ物体は **黒体放射** を出しているけれどもならない。

⇔ "BH が何でも吸収する" という性質に矛盾?

⇒ **量子論的には, BH は放射を出している (Hawking 放射)**



◦ 対生成による直観的な理解

⇒ 対生成による正(た)負(た)粒子が

事象の地平面に入る(とにより)安定化する

## 自由場の量子化

$$\cdot I = \int dx^2 \sqrt{g} g^{MV} \partial_\mu \Phi \partial_\nu \Phi \Rightarrow \square \hat{\Phi} = 0$$

(1) モード展開

$$\frac{\partial \varphi_{-\omega}}{\partial t} = -i\omega \varphi_{-\omega} \Rightarrow \begin{cases} \text{Positive modes } \{ \varphi_{-\omega} \}_{\omega > 0} \\ \text{Negative } \{ \varphi_\omega \equiv \varphi_{-\omega}^* \}_{\omega > 0} \end{cases}$$

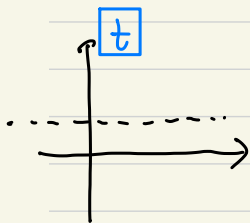
$$\hat{\Phi} = \sum_{\omega > 0} \underbrace{\hat{a}_\omega}_{\text{消滅 op}} \varphi_{-\omega} + \underbrace{\hat{a}_\omega^\dagger}_{\text{生成 op}} \varphi_\omega \Rightarrow [a_{\omega_1}, a_{\omega_2}^\dagger] = \delta_{\omega_1, \omega_2}$$

(2) 真空

$$\hat{a}_\omega |0\rangle = 0 \quad \forall \omega > 0$$

$$\mathcal{H} = \text{Span} \left\{ |0\rangle, a_\omega^\dagger |0\rangle, \dots, \prod_{\mathbb{R}} (a_{\omega_k}^\dagger) |0\rangle \dots \right\}$$

## Minkowski 時間



$$ds^2 = -dt^2 + dx^2$$

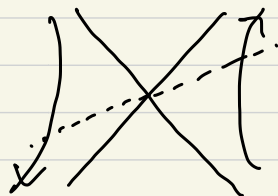
$$\Rightarrow \{ \phi_{\omega}^M \equiv e^{-i\omega(t \pm x)} \}_{\omega > 0}$$

$$\Rightarrow \{ a_{\omega}^M \}, |0\rangle_{\text{Minkowski}}$$

$\Rightarrow$

2つの異存子量子化

## Rindler 時間



$$ds^2 = -\kappa^2 X^2 dT^2 + dX^2$$

$$\Rightarrow \{ \phi_{\omega}^R \}_{\omega > 0}$$

$$\Rightarrow \{ b_{\omega}^R \}, |0\rangle_{\text{Rindler}}$$

~ 2つの異存子時間

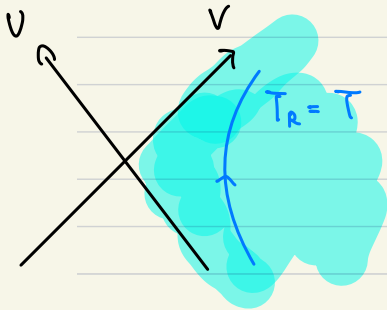
# Rindler 時空における量子化 ( $m=0$ )

$$ds^2 = -\kappa^2 X^2 dT^2 + dX^2 = \kappa^2 X^2 (-dT^2 + dX_*^2) \quad X_* \equiv \log |X|$$

$$\Rightarrow \square \phi = \left( -\frac{\partial^2}{\partial T^2} + \frac{\partial^2}{\partial X_*^2} \right) \phi = 0$$

$$\left. \begin{array}{l} \text{of} \\ U = -e^{-\kappa u} = -e^{-\kappa(T-X_*)} \\ V = e^{\kappa u} = e^{\kappa(T+X_*)} \end{array} \right\} \text{in region I}$$

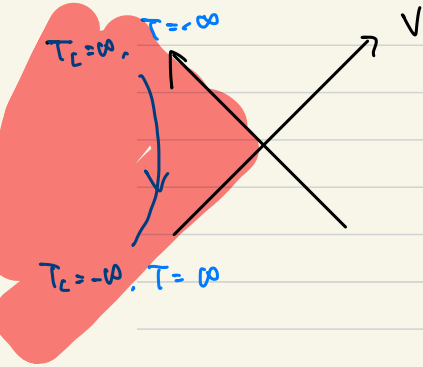
• Right Wedge (Region I)



$$\phi_{I, -\omega}^R = \begin{cases} e^{-i\omega(T+X_*)} = (-U)^{\frac{i\omega}{\kappa}} \text{ or } V^{-\frac{i\omega}{\kappa}} & \text{region I} \\ 0 & \text{region II.} \end{cases}$$

# Left Wedge (region II)

時間の向きが逆



$$T_L = -T$$

Positive energy mode  $\propto e^{-i\omega T_L} = e^{i\omega T}$

$$\phi_{\text{I}, -\omega}^R = \begin{cases} 0 & \text{in region I} \\ e^{i\omega(T \pm X_*)} = U^{-\frac{i\omega}{k}}, (-V)^{\frac{i\omega}{k}} & \text{in region II} \end{cases}$$

cf

$$\begin{cases} U = e^{-ku} = e^{-k(T+X)} \\ V = -e^{ku} = -e^{k(T+X)} \end{cases}$$

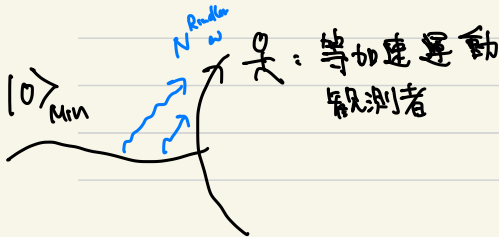
## 2つのモード展開

$$\Phi = \sum_{\omega > 0} a_{\omega} \varphi_{-\omega}^M + a_{\omega}^{\dagger} \varphi_{\omega}^M \quad \Leftarrow \text{Minkowski mode による展開}$$

$$= \sum_{\omega > 0} \left( b_{\text{I},\omega} \phi_{\text{I},-\omega}^R + b_{\text{II},\omega} \phi_{\text{II},-\omega}^R \right) \quad \Leftarrow \text{Rindler mode による展開}$$

$$+ \left( b_{\text{I},\omega}^{\dagger} \phi_{\text{I},-\omega}^R + b_{\text{II},\omega}^{\dagger} \phi_{\text{II},-\omega}^R \right)$$

計算したものの



$$\langle 0 | N_{\text{I},\omega}^{\text{Rindler}} | 0 \rangle_{\text{Min}} = \langle 0 | b_{\text{I},\omega}^{\dagger} b_{\text{I},\omega} | 0 \rangle_{\text{Min}}$$

$$a_{\omega} | 0 \rangle_{\text{Min}} = 0$$

2 >  $\tau^{-1}$   $\{\psi_\omega\}_\omega, \{\phi_\omega\}_\omega$  の関係:

$$\psi_{-\omega} = \sum_{\omega' > 0} A_{\omega\omega'} \underbrace{\phi_{-\omega'}}_{\text{positive}} + B_{\omega\omega'} \underbrace{\phi_{\omega'}}_{\text{negative}}$$

$$\hat{\Phi} = \sum_{\omega > 0} a_\omega \psi_{-\omega} + a_\omega^\dagger \psi_\omega$$

$$= \sum_{\omega > 0} a_\omega \left( \sum_{\omega' > 0} A_{\omega\omega'} \phi_{-\omega'} + B_{\omega\omega'} \phi_{\omega'} \right) + a_\omega^\dagger \left( \sum_{\omega' > 0} A_{\omega\omega'}^* \phi_{\omega'} + B_{\omega\omega'}^\dagger \phi_{-\omega'} \right)$$

$$= \sum_{\omega' > 0} \left( \sum_{\omega > 0} a_\omega A_{\omega\omega'} + a_\omega^\dagger B_{\omega\omega'}^* \right) \phi_{-\omega'}$$

$$+ \left( \sum_{\omega > 0} a_\omega^\dagger A_{\omega\omega'}^* + a_\omega B_{\omega\omega'} \right) \phi_{\omega'}$$

$$= \sum_{\omega'} b_{\omega'} \phi_{-\omega'} + b_{\omega'}^\dagger \phi_{\omega'}$$

$$\bullet \quad \langle 0 | b_{\omega}^{\dagger} b_{\omega} | 0 \rangle_a \quad (a_{\omega} | 0 \rangle = 0)$$

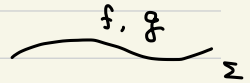
$$= \langle 0 | \left( \sum_{\omega' > 0} a_{\omega'}^{\dagger} A_{\omega\omega'} + a_{\omega} B_{\omega\omega'}^* \right) \left( \sum_{\omega' > 0} a_{\omega'} A_{\omega\omega'} + a_{\omega}^{\dagger} B_{\omega\omega'} \right) | 0 \rangle_a$$

$$= \sum_{\omega'} B_{\omega\omega'}^* \underbrace{B_{\omega\omega'}}_{\text{Positive mode } \epsilon \text{ Negative mode } n \text{ mixing}}$$

Positive mode  $\epsilon$  Negative mode  $n$  mixing

モード間、内積 (Klein Gordon inner product)

$$(f, g) = \int_{\Sigma} d\Sigma^{\mu} (f^* \partial_{\mu} g - g^* \partial_{\mu} f)$$



$\Sigma$  のとり方によらば

$$\int_{\Sigma_1} - \int_{\Sigma_2} \stackrel{\text{Stokes}}{=} \int \square \phi = 0$$



$\{\phi_i\}$  : モードの直交関係式 =  $\{\underbrace{\phi_i}_{\text{Positive}}, \underbrace{\phi_i^*}_{\text{Negative}}\}_{i>0}$

$$\underbrace{(\phi_i, \phi_j)}_{P \quad P} = \delta_{ij}$$

$$\underbrace{(\phi_i^*, \phi_1)}_{N \quad P} = 0$$

$$\underbrace{(\phi_i, \phi_j^*)}_{P \quad N} = 0$$

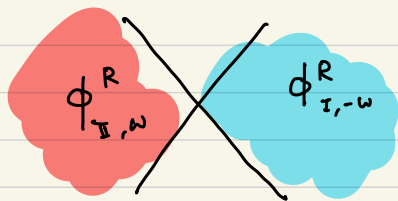
$$\underbrace{(\phi_i^*, \phi_j^*)}_{N \quad N} = -\delta_{ij}$$

← Negative norm



# Unruh 放射

$$\underbrace{\phi_{\text{I}, -\omega}^{\text{R}}(U)}_{\text{positive R mode in I}} + \underbrace{\phi_{\text{I}, \omega}^{\text{R}}(U)}_{\text{Negative in I}} = \underbrace{\int_0^{\infty} C_{\omega\omega'} \varphi_{-\omega'}^{\text{M}}(U) d\omega'}_{\text{Minkowski's positive mode in I の積分}}$$



$\therefore \phi_{\text{I}, \omega}^{\text{R}}(U) \phi_{\text{I}, \omega}^{\text{R}}(U) \neq U^{-\frac{i\omega}{R}}$  は成り立たない。  
 $\Rightarrow$  Complex U plane 上  $\wedge$  下半平面  $\bar{z}$  bounded.  
 $\Rightarrow e^{-i\omega U} \quad \omega > 0$  の積分で書ける。

$$\left( \int_0^\infty C_{\omega\omega'} \varphi_{-\omega}^M(\nu) d\omega', \hat{\Phi} \right) |0\rangle_{\text{Min}} = \int_0^\infty C_{\omega\omega'} \underbrace{(\varphi_{-\omega}^M, \hat{\Phi}')}_{a_\omega} |0\rangle_{\text{Min}} = 0$$

$$\begin{aligned} (\Phi_{\text{I},-\omega}^R + \Phi_{\text{II},\omega}^R, \hat{\Phi}) &= (\Phi_{\text{I},-\omega}^R, \hat{\Phi}) + (\Phi_{\text{II},\omega}^R, \hat{\Phi}) \\ &= b_{\text{I},\omega} - e^{-\frac{\pi\omega}{\kappa}} b_{\text{II},\omega}^+ \end{aligned}$$

$$\Rightarrow \boxed{(b_{\text{I},\omega} - e^{-\frac{\pi\omega}{\kappa}} b_{\text{II},\omega}^+) |0\rangle_{\text{Min}} = 0}$$

~~$$b_{\text{I},\omega}^+ \quad b_{\text{II},\omega}$$~~

同様にして  $(b_{\text{II},\omega} - e^{\frac{\pi\omega}{\kappa}} b_{\text{I},\omega}^+) |0\rangle_{\text{Min}} = 0$

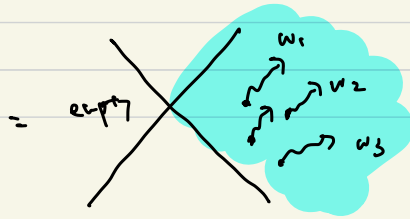
$$(b_{I,\omega} - e^{-\frac{i\pi\omega}{K}} b_{I,\omega}^\dagger) |0\rangle_{\text{min}} = 0, \quad (b_{II,\omega} - e^{-\frac{i\pi\omega}{K}} b_{II,\omega}^\dagger) |0\rangle_{\text{min}} = 0$$

$$\Rightarrow |0\rangle_{\text{min}} \propto \prod_{\omega>0} \exp \left[ e^{-\frac{i\pi\omega}{K}} b_{II,\omega}^\dagger b_{I,\omega}^\dagger \right] |0\rangle_{\text{Rindler}}$$

$$= \sum_{E_n} e^{-\frac{\pi}{2K} E_n} |E_n\rangle_I \otimes |E_n\rangle_{II}$$

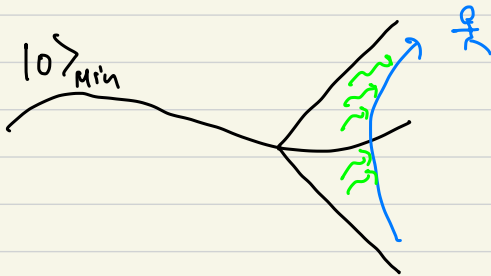
$$b_{II,\omega} |0\rangle_{II} = b_{II,\omega} |0\rangle_I = 0$$

$$|E_n\rangle_I = \prod (b_{I,\omega_1}^\dagger)^{n_1} \dots (b_{I,\omega_R}^\dagger)^{n_R} \dots |0\rangle_{\text{Rindler}} \quad \left( \sum \omega_R n^R = E_n \right)$$



$$\langle 0 |_{\text{Min}} b_{I\omega}^\dagger b_{I\omega} | 0 \rangle_{\text{Min}} = \frac{1}{e^{\frac{\pi\omega}{K}} - 1}$$

⇒ 温度  $T = \frac{K}{\pi}$  の ボルツマン分布

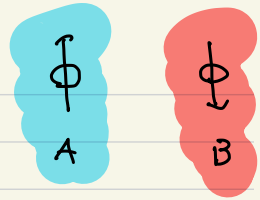


= Minkowski 空間を等加速運動する観測者は、熱的な放射を見る。

•  $|0\rangle_{\text{Min}} \propto \sum_{E_n} e^{-\frac{\pi}{2K} E_n} |E_n\rangle_{\text{I}} \otimes |E_n\rangle_{\text{II}}$

Region I の状態が決まれば  
Region II の状態も決まる  
⇒ **量子相関**

# 量子相関とは



$$\bullet |\Psi\rangle_{AB} = \frac{1}{\sqrt{2}} (|\uparrow\rangle_A |\downarrow\rangle_B - |\downarrow\rangle_A |\uparrow\rangle_B)$$

$$\therefore \begin{cases} B \text{ の状態が } |\downarrow\rangle_B \Rightarrow A \text{ の状態は } |\uparrow\rangle_A \\ B \text{ の状態が } |\uparrow\rangle_B \Rightarrow A \text{ の状態は } |\downarrow\rangle_A \end{cases}$$

•  $|\Psi_{AB}\rangle$  において, A の状態と B の状態は相関している

• Bell の不等式を破る  $\Rightarrow$  量子相関 (エンタングルメント)

• A のみを見る観測者は, B について平均をとった状態を

$$\rho_A = \sum_{i=\{\downarrow, \uparrow\}} \langle i | \Psi \times \Psi | i \rangle = \text{tr}_B |\Psi\rangle_{AB} \langle \Psi| \quad (\text{混合状態})$$

## 量子相関とは(2)

一般に,  $H_{\text{tot}} = H_A \otimes H_B$

$$|\Psi\rangle_{AB} = \sum_i \sqrt{\lambda_i} |i\rangle_A \otimes |i\rangle_B \quad (\text{Schmit 分解})$$

$$\Rightarrow \rho_A = \sum_{i=1}^r \lambda_i |i\rangle_A \langle i| \quad (i=1, \dots, \min\{\dim H_A, \dim H_B\})$$

(縮約した密度行列)

•  $|\Psi\rangle_{AB}$  における  $A$  と  $B$  の相関, 定量化  $\Rightarrow$  インタングラメント エンタピー

$$S(\rho_A) = -\text{tr} \rho_A \log \rho_A$$

(cf. 密度行列  $\rho$  に対する von Neumann エンタピー  $S(\rho) = -\text{tr}(\rho \log \rho)$ )

I > A > 7"10x > I > 100° -

$$\rho_A = \frac{1}{2} \left( |\downarrow\rangle_A \langle \downarrow| + |\uparrow\rangle_A \langle \uparrow| \right) \Rightarrow -\text{tr}(\rho_A \log \rho_A) = \log 2$$

$$\cdot \text{例: } \begin{cases} |\Psi\rangle_{AB} = \frac{1}{\sqrt{2}} \left( |\uparrow\rangle_A |\downarrow\rangle_B - |\downarrow\rangle_A |\uparrow\rangle_B \right) \Rightarrow \underline{S(\rho_A) = \log 2} \\ |\Psi\rangle_{AB} = |\uparrow\rangle_A \otimes |\uparrow\rangle_B \Rightarrow \underline{S(\rho_A) = 0} \end{cases}$$

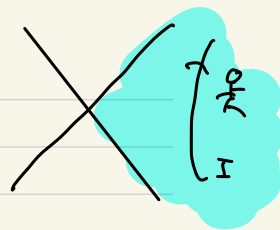
$$\cdot S(\rho_A) \leq \min \left\{ \log \dim H_A, \log \dim H_B \right\}$$

$$\left( \because |\Psi\rangle = \sum_{i=1}^r \sqrt{\lambda_i} |i\rangle_A |i\rangle_B \Rightarrow S(\rho_A) = \sum_i \lambda_i \log \lambda_i, \sum \lambda_i = 1 \right)$$

$$\cdot \text{純粋状態に於て } S(\rho_A) = S(\rho_B)$$

$$\left( \forall \text{ pure state, } \rho_A = \sum_{i=1}^r \lambda_i |i\rangle_A \langle i|, \rho_B = \sum_{i=1}^r \lambda_i |i\rangle_B \langle i| \right)$$

# 場の理論における相関



$$|0\rangle_{\text{Min}} = \frac{1}{\sqrt{Z}} \sum_{E_n} e^{-\frac{\beta}{2} E_n} |E_n\rangle_{\text{I}} \otimes |E_n\rangle_{\text{II}}$$

等加速運動する観測者は、領域 I しか見えない

$$\Rightarrow \rho_{\text{I}} = \frac{1}{Z} \sum_{E_n} e^{-\beta E_n} |E_n\rangle_{\text{I}} \langle E_n|_{\text{I}} \quad : \text{温度 } \beta \text{ の canonical 分布}$$
$$\beta = \frac{2\pi}{K}$$

$$\bullet \text{ I} \rightarrow \text{A} > \text{H} \text{ (L} \times \text{t} \text{)} \quad ; \quad S(\rho_{\text{I}}) = - \sum_{n=1}^{\infty} p_n \log p_n \quad p_n = \frac{e^{-\beta E_n}}{Z}$$

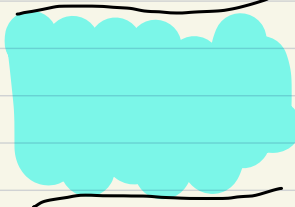
I > f < 0 < -

= 温度  $1/\beta$  の 熱力学 エンタルピー

# 経路積分による導出

正準量子化による導出  $\Rightarrow$  自由場に限定される。

## 真空の経路積分表示

$$\langle \phi_+ | 0 \rangle_{\text{Min}} = \int_{\phi = \phi_f}^{\phi = \phi_i} \mathcal{D}\phi \quad T=0$$


$T = -\infty$

$S[\phi]$ : 場の理論  
の作用

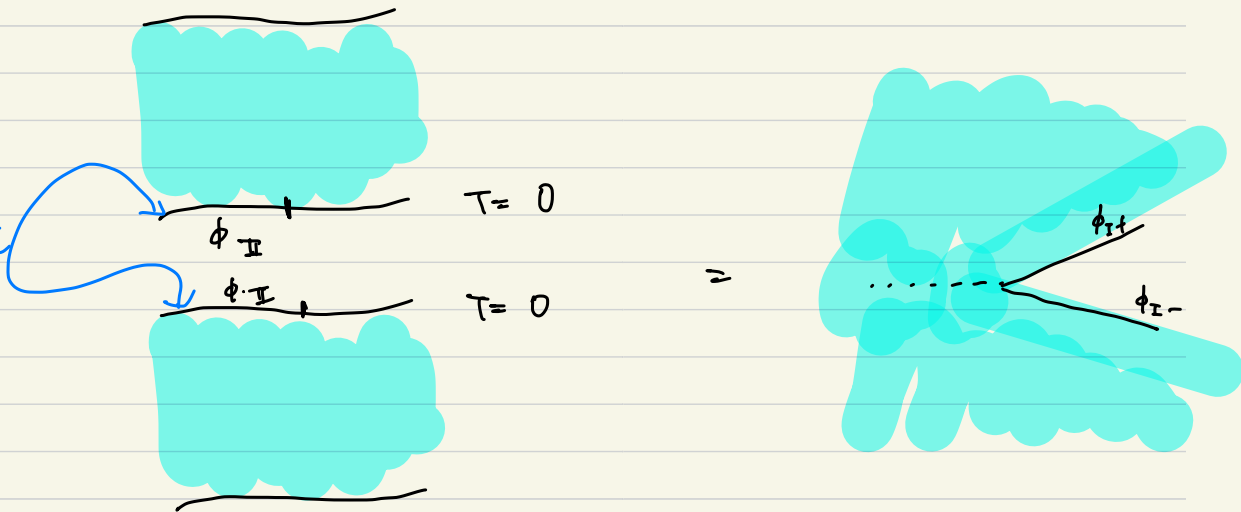
$$= \int \mathcal{D}\phi \Big|_{\phi(\tau=0) = \phi_i} e^{-S[\phi]}$$

# 縮約場の密度行列

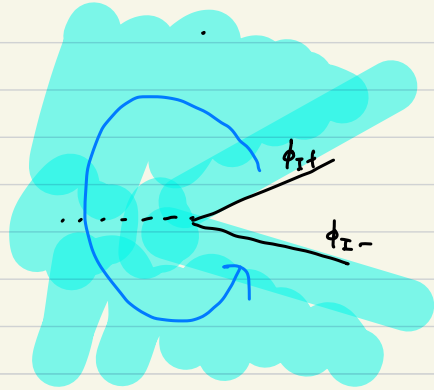
$$\rho_I = \text{tr}_I |0\rangle\langle 0| = \int D\phi_{II} \langle \phi_{II} | 0 \rangle_{\text{min}} \langle 0 | \phi_{II} \rangle$$

region II に

おける貼り合わせ



∴  $T=0$  region I に境界条件の入った経路積分



ユークリッド化した  
 リンドラー時間。

$$= \langle \phi_{I-} | e^{-\beta H_{\text{Rindler}}} | \phi_{I+} \rangle$$

リンドラーハミルトニアンに対応する  
 状態の分布

# EE の計算 (レリカ法)

$$S(\rho_I) = - \frac{\partial}{\partial n} \log \text{tr}(\rho_I)^n \Big|_{n=1}$$

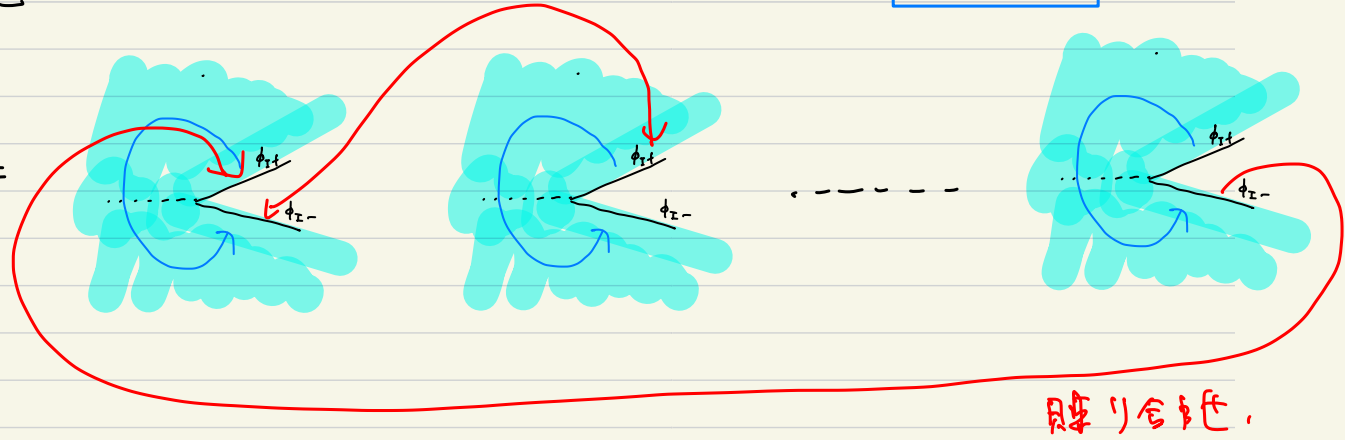
$$= \text{tr} \rho_I \log \rho_I$$

•  $n \in \sum_{\pm} n \chi_{\pm}$

経路合計

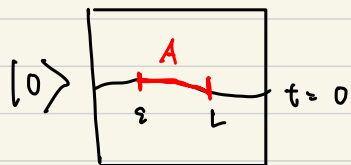
$$\sum_n$$

$$\text{tr}(\rho_I^n) =$$



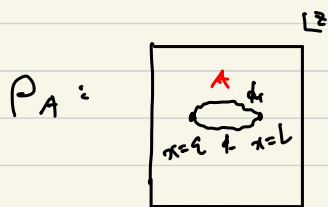
$$= \sum_n \text{上, 経路積分} = \text{tr} [ e^{-n\beta H_I} ]$$

## 2次元共形場理論, 場合



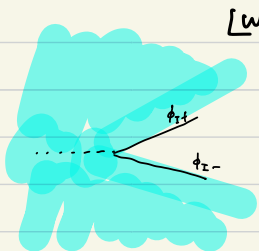
•  $t=0$   $t_1$ , 領域  $A: z < x < L$  と補集合  $\bar{A}$  に分ける。

• 真空  $|0\rangle$  の  $A$  に対する EE を計算してみよう。



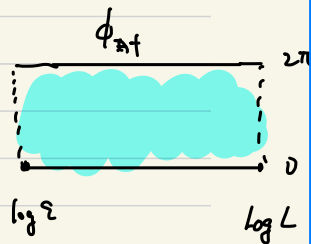
$$w = \frac{z - \epsilon}{L - z}$$

$\Rightarrow$

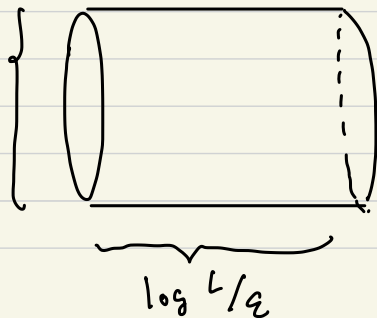


$$u = \log w$$

$\Rightarrow$

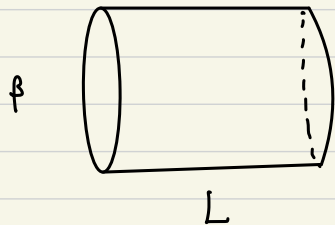


$$\text{tr}(\rho_A)^n = 2\pi n$$



$$= \frac{\sum_{\text{CFT}} \left[ \beta = \frac{2\pi n}{\log L/\epsilon} \right]}{\left( \sum_{\text{CFT}} \left[ \beta = \frac{2\pi}{\log L/\epsilon} \right] \right)^n} = \frac{1}{\left( L/\epsilon \right)^{\frac{c}{6}(n - \frac{1}{n})}}$$

ただし  $Z_{\text{OFT}}[\beta]$  は  $T = 1/\beta$  における分配関数で、  $\beta/L \rightarrow 0$  には



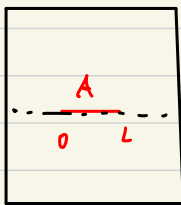
$$Z_{\text{OFT}}[\beta] = e^{\left(\frac{4\pi^2 c L}{\beta}\right)}$$

$c$ : 中心電荷

( $c=1$  for 自由空間一場)

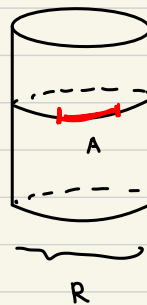
## 種々、EE

(1)  $R \ll L$  の真空



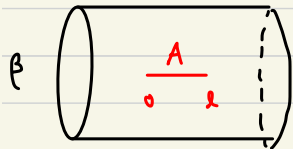
$$S_A = \frac{c}{3} \log L/\epsilon$$

(2) 空間方向に  $S^1$  の場合.



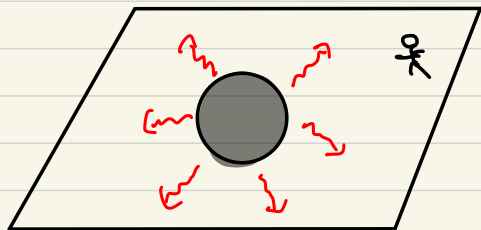
$$S_A = \frac{c}{3} \log \left[ \frac{R}{\pi \epsilon} \sin \frac{\pi L}{R} \right]$$

(2) 有限温度の場合



$$S_A = \frac{c}{3} \log \left[ \frac{\beta}{\pi \epsilon} \sinh \frac{\pi L}{\beta} \right]$$

## BH, 情報喪失問題 (II)



Hawking 放射に対し, BH は 除々にその質量を失,  $2u <$

$$\frac{dM}{dt} = -\sigma A_H T_H^4 \quad \left( \begin{array}{l} \text{スティーヴン ホルツワイン} \\ \text{の法則} \end{array} \right)$$
$$\propto -\frac{1}{M^2} \quad \Rightarrow \quad \tau_{\text{寿命}} \sim M^3$$

ブラックホールの蒸発

$$\Rightarrow T = \frac{1}{4M} \rightarrow \infty, \quad S_{\text{BHE}} \rightarrow 0$$

•  $T \rightarrow \infty$ : ブラックホールの内側と外側の間の EE  $S(\rho_{\pm}) = S(\beta) \rightarrow \infty$

⇕ 矛盾!!

$$S(\rho_{\pm}) \leq \log \min \left\{ \dim H_{\text{内側}}, \dim H_{\text{外側}} \right\} \Rightarrow S(\rho_{\pm}) \leq S_{\text{BHE}} \rightarrow 0$$

$$I = \hbar \omega c^2$$



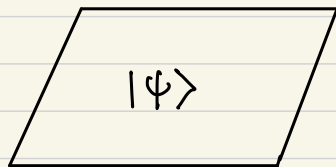
Hawking の 計算

(量子論から予想される)  $E \sim \hbar \omega$   
 $I = \hbar \omega c^2$  の 光子  $\omega$

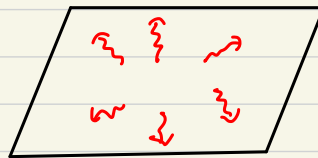
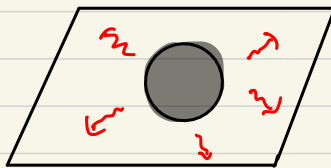
$$t \sim M^3$$

# BHの情報喪失問題

## 重力側の計算



pure state



$$\rho_{\text{Hawking}} = \sum_n e^{-\beta E_n} |n\rangle\langle n|$$

= mixed state

## 量子論

$$|\psi\rangle \longrightarrow U(t)|\psi\rangle \quad : \text{pure stateのまま}$$

時間発展は常に  $U = U^\dagger$

# A microscopic model (1)

BH の内側の状態  
 $\sim H_{II}$   
↓

- In a microscopic theory (Quantum gravity) :  $H_{BH} \otimes H_R$

$$|\Psi\rangle = \sum_{\alpha=1}^{d_{BH}} \sum_{i=1}^{d_R} C_{\alpha i} |\psi_{\alpha}\rangle_{BH} \otimes |i\rangle_{Rad}$$

- $C_{\alpha i}$  is **unknown** but  $d_{BH} \times d_R$

- ⇒
- ⊙ Dynamics is chaotic ⇒  $C_{\alpha i} = (e^{iHt})_{\alpha i}$  is **random**
  - ⊙ 量子重力の detail は 分からない

averaging over  $C$

⇒ We are interested in  $\overline{S(p_R)}$

# A microscopic model (1)

ホーキング放射の密度行列は、

$$\rho_R = \frac{1}{d_R d_{BH}} \sum_{i,j=1}^{d_R} \sum_{\alpha,\beta=1}^{d_{BH}} C_{\alpha,i} C_{\alpha,j}^\dagger |i\rangle_R \langle j|$$

So the **average** of  $n=2$  Rényi entropy is,

$$\overline{\text{tr} \rho_R^2} = \frac{1}{d_R^2 d_{BH}^2} \sum_{i,j=1}^{d_R} \sum_{\alpha,\beta=1}^{d_{BH}} C_{\alpha,i} C_{\alpha,j}^\dagger C_{\beta,j} C_{\beta,i}^\dagger$$

# Averaging the entropy (1)

Since  $C_{\alpha i}$  is Gaussian Random

$$\left\{ \begin{array}{l} \overline{C_{\alpha i} C_{\beta j}^+} = \delta_{\alpha\beta} \delta_{ij}, \\ \overline{C_{\alpha i} C_{\beta j}^+ C_{\gamma R} C_{sm}^+} = \overbrace{C_{\alpha i} C_{\beta j}^+} C_{\gamma R} C_{sm}^+ + \overbrace{C_{\alpha i} C_{\beta j}^+ C_{\gamma R}} C_{sm}^+ + \overbrace{C_{\alpha i} C_{\beta j}^+ C_{\gamma R} C_{sm}^+} \end{array} \right.$$

$$\overline{\text{tr} \rho_R^2} = \frac{1}{d_R^2 d_{BH}^2} \sum_{i,j=1}^{d_R} \sum_{\alpha,\beta=1}^{d_{BH}} \overline{C_{\alpha i} C_{\alpha j}^+ C_{\beta j} C_{\beta i}^+} = \frac{1}{d_R} + \frac{1}{d_{BH}}$$

Hawking's result

a non perturbative correction  $e^{-S_{BH}}$

# Averaging the entropy (2)

$$H_R \otimes H_{\text{BHC}}$$

$$\bullet \overline{\text{tr } \rho_R^2} = \frac{1}{d_R} + \frac{1}{d_{\text{BHC}}} = \begin{cases} \frac{1}{d_R} & : d_R \ll d_{\text{BHC}} \\ \frac{1}{d_{\text{BHC}}} & : d_R \gg d_{\text{BHC}} \end{cases}$$

$\Rightarrow$  { A phase transition when  $d_R = d_{\text{BHC}}$  (Page curve)  
Can not be captured by the Hawking's calculation.

$$\bullet \text{ Similary: } \overline{S(\rho_R)} = - \overline{\text{tr } \rho_R \log \rho_R} = \begin{cases} \log d_R & : d_R \ll d_{\text{BHC}} \\ \log d_{\text{BHC}} & : d_R \gg d_{\text{BHC}} \end{cases}$$

# Averaging the entropy (2)

- Why the behavior of the entropy changes after the Page time?

$$\overline{S(p_R)} \neq S(\overline{p_R})$$

$$\overline{p_R} = \frac{1}{d_R} \sum_{i=1}^{d_R} |i\rangle_R \langle i| \Rightarrow S(\overline{p_R}) = \log d_R.$$

$$p_R = \frac{1}{d_R d_{\text{BH}}} \sum_{i=1}^{d_R} \sum_{\alpha=1}^{d_{\text{BH}}} C_{\alpha,i} C_{\beta,j}^\dagger |i\rangle_R \langle j|$$

$$= \overline{p_R} + \underbrace{\delta p_R}_{\text{Random fluctuation of the DM}} = \text{Tiny } \mathcal{O}(e^{-S_{\text{BH}}}), \text{ but it can be accumulated}$$

# Averaging the entropy (2)

- Why the behavior of the entropy changes after the Page time?

$$\overline{S(P_R)} \neq S(\overline{P_R})$$

$$\overline{P_R} = \frac{1}{d_R} \sum_{i=1}^{d_R} |i\rangle\langle i| \Rightarrow S(\overline{P_R}) = \log d_R.$$

$$P_R = \frac{1}{d_R d_{\text{BH}}} \sum_{i=1}^{d_R} \sum_{\alpha=1}^{d_{\text{BH}}} C_{\alpha,i} C_{\beta,j}^\dagger |i\rangle\langle j|$$

$$= \overline{P_R} + \delta P_R$$

the Accumulation of random fluctuations changes the entropy  $t > t_{\text{page}}$

ランダムなゆらぎを記述するメカニズム  
が重力側に存在するか？

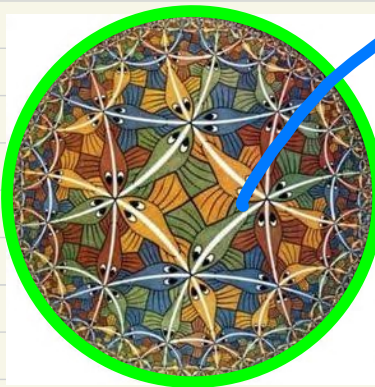
⇒ レゾナンスカウチホール

Ads / CFT 対応と

ホログラムファック インタングルメント

イントロビ—

# AdS / CFT 対応とは?



$d+1$ 次元 反ドシタ-空間 (Anti de Sitter)  
上の **量子重力理論** (超弦理論)

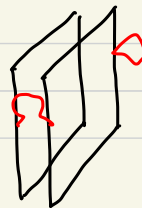
|| 等価

$d$ 次元の境界に住む (重力を含まない)  
場の量子論 (共形場理論)

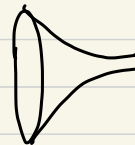
AdS<sub>d+1</sub> の 時間-定面

• ホログラフィー 原理, 具体例

• 超弦理論 の Dブレーン の二つの記述  
から来る。(開弦, 閉弦)



=



$$ds^2 = f(r) dt^2 + \frac{dr^2}{f(r)} + r^2 d\vec{x}^2$$

## 反ドシムア-空間とは?

- 負の宇宙定数を持つアインシュタイン方程式の解:  $R_{\mu\nu} + \Lambda g_{\mu\nu} = 0$

- $X_0^2 + X_{d+2}^2 - \sum_{\mu=1}^{d+1} (X_{\mu})^2 = l^2$  上の1次元定域計量.

$$ds^2 = -dx_0^2 - dx_{d+2}^2 + \sum_{\mu=1}^{d+1} (dx_{\mu})^2 \quad \text{と表わされる.}$$

- $l$ : AdS 半径

$$\Lambda = -\frac{d(d-1)}{l^2}$$

- Sold.2) 対称性をもつ

· 具体的な計量 (AdS<sub>3</sub>) :  $X_0^2 + X_3^2 - X_1^2 - X_2^2 = l^2$

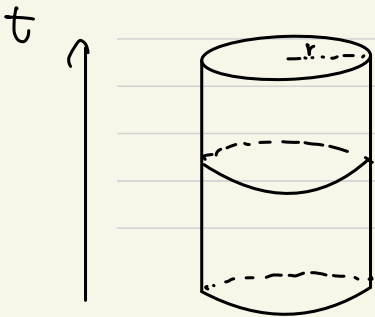
Global 座標 (r, τ, θ)

$$X_0 = \sqrt{l^2 + r^2} \cos \tau \quad X_1 = r \sin \theta$$

$$X_3 = \sqrt{l^2 + r^2} \sin \tau \quad X_2 = r \cos \theta$$

$$\Rightarrow ds^2 = -(l^2 + r^2) d\tau^2 + \frac{dr^2}{(l^2 + r^2)} + r^2 d\theta^2$$

境界:  $r \rightarrow \infty$  :  $S^1 \times \mathbb{R}$  (Cylinder)



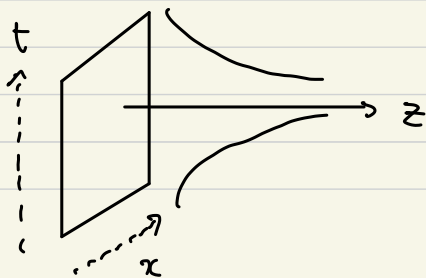
Poincare 座標 (z, t, x)

$$X_0 = \frac{l}{2z} (1 + z^2 + x^2 - t^2) \quad X_1 = \frac{lx}{z}$$

$$X_3 = \frac{lt}{z} \quad X_2 = \frac{l(-1 + z^2 + x^2 - t^2)}{2z}$$

$$\Rightarrow ds^2 = l^2 \left( \frac{-dt^2 + dx^2 + dz^2}{z^2} \right)$$

境界:  $z = 0$  :  $\mathbb{R}^{1,1}$



# 共形場理論 (CFT) とは?

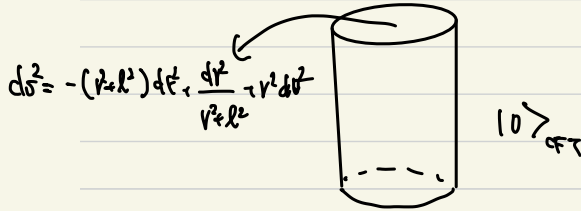
- スケール変換  $x^M \rightarrow \lambda x^M$  対称性を持つ QFT
- スケール変換 + Lorentz 群  $SO(d,1) \Rightarrow SO(d,2)$  に拡大すると信じられる。  
AdS/CFT = isometry
- 例: 4次元  $N=4$  超対称性をもつ Yang-Mills 理論:  $\beta(g) = 0$
- 2次元では  $SO(2,2) \sim SL(2, \mathbb{R}) \times SL(2, \mathbb{R})$  対し,  $\infty$ 次元, Virasoro 対称性に拡大  
 $\{L_n\}, \{\bar{L}_n\} \quad (n \in \mathbb{Z})$

$$[L_n, L_m] = (n-m)L_{n+m} + \frac{c}{12}(m^3-m)\delta_{m+n,0}$$

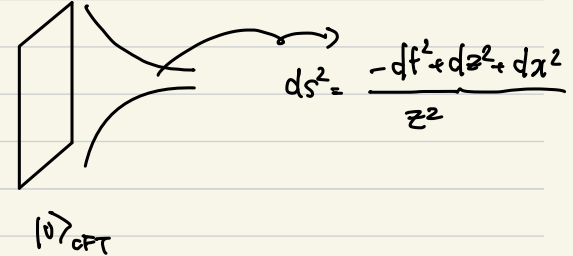
中心電荷: 自由度の数を表す (ex  $S_{1h}(\beta) \propto \frac{c}{\beta}$ )

# 具体的对应关系

$S^1 \times \mathbb{R}^3$  上的 CFT 真空  $|0\rangle_{\text{CFT}} \Leftrightarrow$  Global  $AdS_3$



$\mathbb{R}^{1,3}$  上的真空  $|0\rangle_{\text{CFT}} \Leftrightarrow$  Poincare  $AdS_3$



## GKP-W relation

$$\Sigma_{\text{CFT}} = \Sigma_{\text{gravity}}$$

重力側の分配関数.

$$\Sigma_{\text{gravity}} = \int Dg_{\mu\nu} D\phi_{\text{matter}} e^{-S_{\text{gravity}} - S_{\text{matter}}} + (\text{boundary conditions at the boundary})$$

CFT側の分配関数

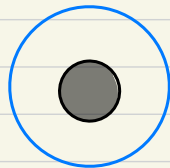
$$\int_{S^1 \times \mathbb{R}^3} D\phi e^{-S}$$



$$\begin{cases} g_{\mu\nu}(z, x, t) \xrightarrow{z \rightarrow 0} z^2 g_{\mu\nu}^{(0)} + \dots \\ \phi(z, x, t) \rightarrow z \phi^{(0)}(x, t) + \dots \end{cases}$$

# AdS<sub>3</sub> E の BH : BTZ ブラックホールの

$$\cdot ds^2 = -(r^2 - Ml^2) dt^2 + \frac{dr^2}{r^2 - Ml^2} + r^2 d\theta^2$$



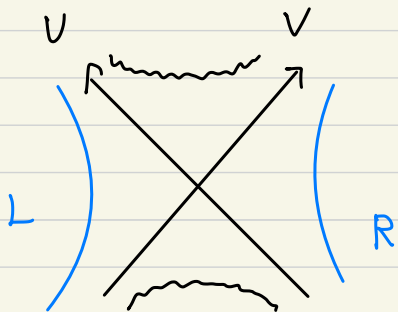
$$\cdot \text{温度} = T = \frac{\sqrt{M}}{2\pi}$$

$$I \rightarrow 0 \text{ } \circ - : S = \frac{2\pi r_R}{4G} = \left( \frac{\pi \sqrt{M} l}{2G} \right)$$

○ Kruskal 座標では

$$ds^2 = \frac{-4l^2 du dv + Ml^2(1-uv)^2 d\theta^2}{(1+uv)^2}$$

$$\left. \begin{array}{l} \cdot \text{境界} : uv = -1 \\ \cdot \text{特異点} : uv = 1 \end{array} \right\}$$



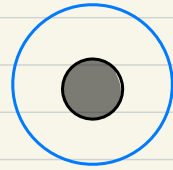
⇒ 2つ、(因果的に存在しえない)境界を持つ

⇒ 境界における2つの CFT のミミ空間を記述する

$$H_{L, \text{CFT}} \otimes H_{R, \text{CFT}}$$

# AdS<sub>3</sub> E<sub>n</sub> BH : BTZ ブラックホールの

$$\bullet ds^2 = -(r^2 - Ml^2) dt^2 + \frac{l^2 dr^2}{r^2 - Ml^2} + r^2 d\theta^2$$

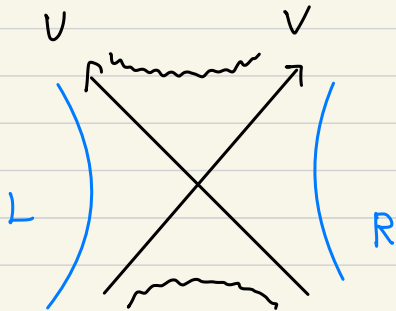


⇒ CFT 側, 熱平衡状態  $\rho_\beta = e^{-\beta H}$  に対応

○ Kruskal 座標では

$$ds^2 = \frac{-4l^2 du dv + Ml^2(1-u^2)^2 d\theta^2}{(1+uv)^2}$$

境界:  $uv = -1$   
特異点:  $uv = 1$



⇒ 境界における 2 つの CFT による空間を記述する

$$H_{L,CFT} \otimes H_{R,CFT}$$

⇒ TFD 状態  $|TFD\rangle_\beta = \frac{1}{\mathcal{Z}} \sum e^{-\frac{\beta E_n}{2}} |E_n\rangle_L |E_n\rangle_R$

## BH entropy の微視的導出

• Bulk to boundary 関係式を用いると, BTZ BH の entropy は CFT 側から計算できる。

$$S_{\text{BH}} = \left( \beta \frac{\partial}{\partial \beta} - 1 \right) \log \sum_{\text{gravity}} [\beta] = \left( \beta \frac{\partial}{\partial \beta} - 1 \right) \log \sum_{\text{CFT}} [\beta] : T = \frac{1}{\beta} \gg 1$$

•  $\sum_{\text{CFT}} [\beta]$  の性質

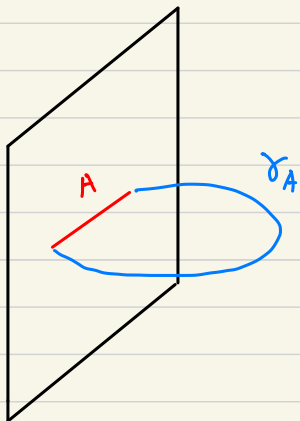
$$(1) \sum_{\text{CFT}} (\beta) = \sum_{n=1}^{\infty} e^{-\beta E_n} \rightarrow e^{-\beta E_0} \quad (\text{低温極限 } \beta \rightarrow \infty), E_0 = \frac{c}{12}$$

$$(2) \text{モジュラー不変性: } \sum_{\text{CFT}} \left( \frac{4\pi^2}{\beta} \right) = \sum_{\text{CFT}} (\beta) : \sum_{\text{CFT}} (\beta) \rightarrow e^{-\frac{4\pi^2}{\beta} E_0} \quad (\text{高温極限 } \beta \rightarrow 0)$$

$$\Rightarrow S_{\text{CFT}} = \frac{2c\pi^2}{3\beta} = \frac{2}{3} \underbrace{\left( \frac{3l}{2G} \right)}_{\text{AdS}_3 \text{ gravity}} \pi^2 \left( \frac{\sqrt{M}}{2\pi} \right) = \frac{2\pi(\sqrt{M}l)}{4G} = \frac{A}{4G_N} = S_{\text{BH}} !!$$

AdS<sub>3</sub> gravity is dual to 2d CFT with central charge.

# Holographic entanglement entropy



CFT における領域  $A$  のエンタングルメントエントロピーは、AdS 側の極小曲面の面積で計算される。

$$S_A = \min_{\gamma_A} \frac{A(\gamma_A)}{4G_N} \quad (\text{RT 公式})$$

$\gamma_A$  :  $A$  の境界  $\partial A$  に end する AdS 時空上の曲面

• CFT の熱学的エンタロピー =  $S_{\text{BH}}$  の拡張と存在する。

• 時空が static ではない場合の拡張 (HRT 公式)

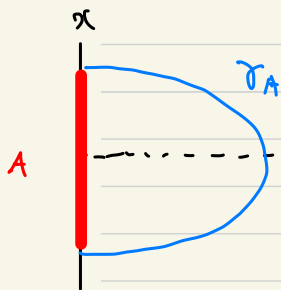
Extremal surface  $\gamma_A = \gamma_A^{\text{Ex}}$  :  $\left. \frac{\delta A_{\text{min}}}{\delta \gamma_A} \right|_{\gamma = \gamma_A^{\text{Ex}}} = 0$  を用いて  $S_A = \frac{\text{Area}(\gamma_A^{\text{Ex}})}{4G_N}$

# 具体的な計算例

•  $\mathbb{R}^{1,1}$  上の CFT 真空  $|0\rangle$  の EE を holographic に計算してみる。

$t = -$  定面

$$\Leftrightarrow \text{Poincare AdS}_3: ds^2 = l^2 \left( -\frac{dt^2 + dz^2 + dx^2}{z^2} \right)$$



領域 A:  $-\frac{L}{2} < x < \frac{L}{2}$  とする。

$$\text{Length} = 2 \int_{z=0}^{z=r_A} dz \sqrt{\frac{x^2+1}{z^2}} \Rightarrow \frac{\partial}{\partial z} \left( \frac{x^2}{\sqrt{x^2+1}} \right) = 0$$

$$\Rightarrow r_A = x^2 + z^2 = \left( \frac{L}{2} \right)^2 \quad \left( \begin{array}{l} x = \frac{l}{2} \cos \theta \\ z = \frac{l}{2} \sin \theta \end{array} \right) \Rightarrow \text{Length} = 2 \int_{\frac{z}{l}}^{\pi/2} \frac{d\theta}{\sin \theta}$$

$$\frac{\text{Length}}{4G} = \frac{l}{2G} \log \frac{L}{2} = \frac{c}{3} \log \frac{L}{2}$$

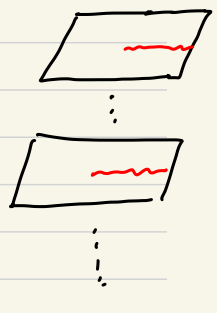
→ 2D CFT にあつた EE !!

# 証明のステップ

(Laplace法)

$$S_A^{\text{CFT}} = -\partial_n \log \text{tr}(\rho_A^n) \Big|_{n=1}$$

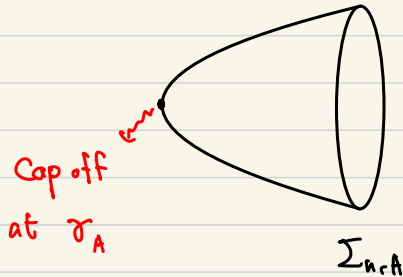
$$\Sigma_{n,A} = n \times$$



Bulk to boundary relation.

$$\text{tr}(\rho_A^n) = \sum_{\text{CFT}} (\Sigma_{n,n}) = \sum_{\text{gravity}} (M_n)$$

$M_n = \Sigma_{n,A}$  境界に  $t \rightarrow 0$ , Penrose diagram の解



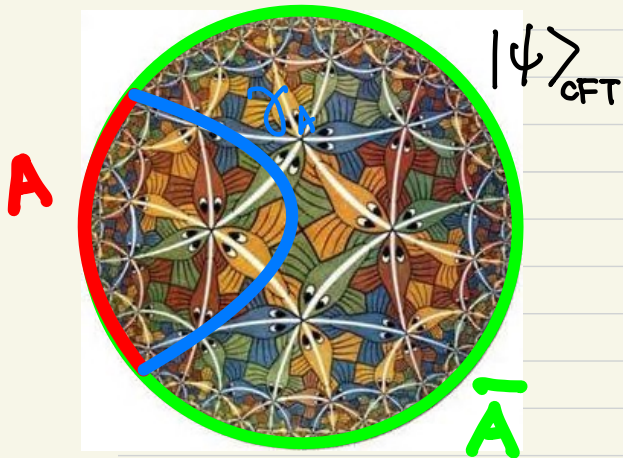
$$(1) -\partial_n \log \sum_{\text{gravity}} \Big|_{n=1} = \frac{\text{Area}(\text{Cap off surface})}{4G}$$

(2) Einstein 方程式:

Cap off surface は minimal surface  $\frac{\delta A}{\delta \sigma_A} = 0$  条件

# Entanglement Wedge reconstruction

- CFTの状態から, どのように bulk 時空の情報を再構成できるのか?



- CFTの領域  $A$  の情報から ( $\rho_A$  から) 再構成できる時空の領域はどれか?

⇒ 領域  $A$  と minimal surface  $\gamma_A$  で囲まれた部分  
(  $A$  についての "エンタングルメントウェッジ"  $\Sigma(A)$  )

- CFT状態が 純粋状態 ⇒

$$\gamma_A = \gamma_{\bar{A}}$$

$$\Rightarrow \Sigma_A \cup \Sigma_{\bar{A}} = \text{時間-空間全体}$$

後で超重要!!

# HEE に対する量子補正

• RT 公式は bulk 重力が完全に古典的な場合  $G_N \rightarrow 0$  に対応する。

•  $G_N$  補正を入れた時, bulk の理論は  
で記述される。

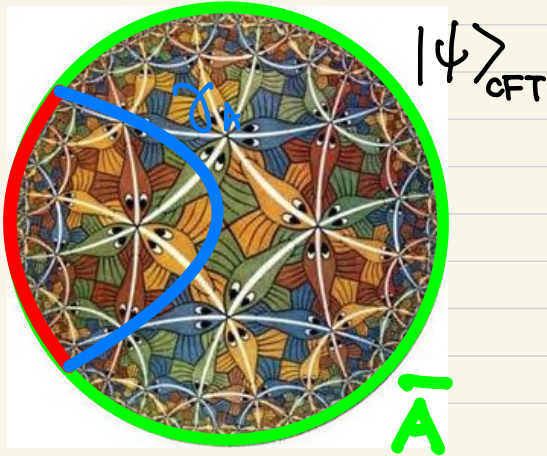
Einstein 重力 + バルク 時空上の QFT

CFT 側の状態は,  $(g_{\mu\nu}, |\psi\rangle_{\text{bulk QFT}})$  の組で指定される。

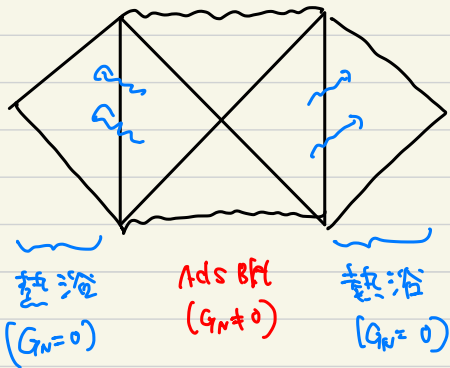
量子補正入りの HEE 公式

$$S_{\text{CFT}, A} = \text{Min}_{\gamma_A} \text{Ext} \left[ \frac{\text{Area}(\gamma_A)}{4G_N} + S_{\text{bulk QFT}}(\Sigma_A) \right]$$

•  $S_{\text{bulk QFT}}(\Sigma_A)$ : bulk 時空の QFT の,  $\Sigma_A$  (=  $\gamma_A$  の  
entanglement entropy) .



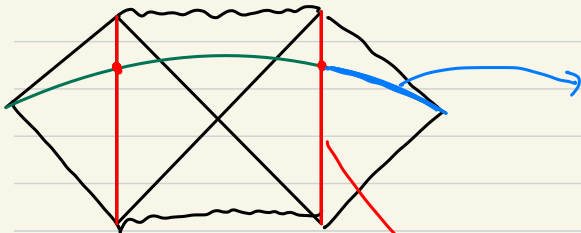
# 情報喪失問題への応用: セットアップ



• AdS BH の境界, 外側に (BH から出てきた Hawking 放射を集める) 熱浴 を <> ける

$$H_{\text{tot}} = H_{\text{AdS BH}} \otimes H_R$$

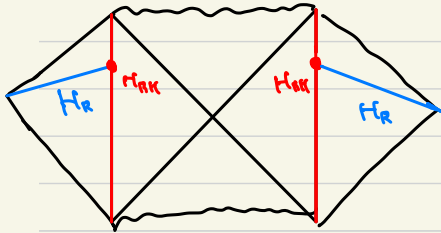
↓ BH の微視的状態 ∈ H<sub>QFT</sub>
↓ AdS boundary からの Hawking 放射



$H_R$  は 外側の Non-gravitating bath として定義

$H_{\text{AdS BH}} \subset H_{\text{QFT}}$  は gravitating region (AdS) の境界として定義されている。

# 情報喪失問題への応用: 計算可能なもの



- 時間-定面上では,  $H_{\text{AdS BH}}$  と  $H_R$  の  
 $I = \text{マンダラ}$  状態が実現. Pure state  $|\psi\rangle$  とすると,

$$|\psi\rangle = \sum_{i=1}^R |\psi_i\rangle_{\text{AdS BH}} \otimes |i\rangle_R$$

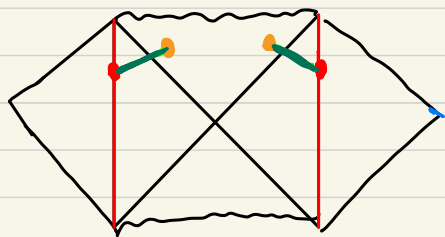
- 我々が計算したいもの: ホーキング放射のエンタピー—

$$S(P_R) \stackrel{\text{Purity}}{=} S(P_{\text{CFT}}) \stackrel{\text{HEE}}{=} \underset{\text{AdS BH}}{\text{Min}} \text{Ext}_{\partial A} \left[ \frac{A(\gamma)}{4G_N} + S_{\text{bulk}}(\Sigma_A) \right]$$

- time slice 上の状態は  $(g_{\mu\nu}, |\psi\rangle)$  で指定される。

# BH, EW と ホーキング放射のEW

BH についての EW が合えば, その補集合  $\bar{E}$  に対する  $\bar{E}$  に対する, ホーキング放射のEW が合えば

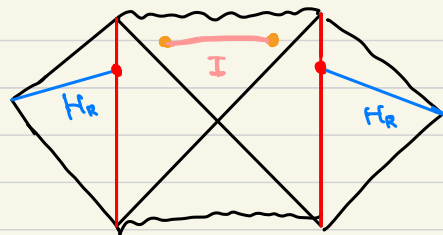


• : BH に対する QES

— : BH に対する  
I = アングラメントのエッジ

補集合

⇒  
全体系は pure state



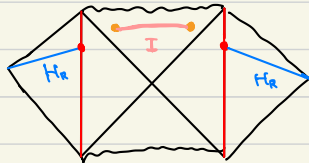
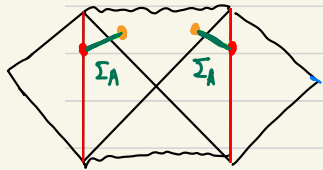
• :  $H_R$  に対する QES

$R \cup I$  : ホーキング放射の  
I = アングラメントのエッジ

BH 内部の構造は ホーキング放射, 情報から決定される。

# Comments

$$(1) S(\rho_R) \stackrel{\text{Purity}}{=} S(\rho_{\text{CFT}}) \stackrel{\text{HEE}}{=} \underset{\text{AdSBH}}{\text{Min}}_{r_A} \text{Ext} \left[ \frac{A(\gamma)}{4G_N} + S_{\text{bulk}}(\Sigma_A) \right]$$



$$= \underset{I}{\text{Min}} \text{Ext} \left[ \frac{A(\partial I)}{4G_N} + S_{\text{bulk}}(I \cup R) \right]$$

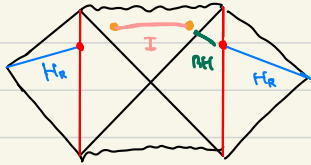
~~~~~  
アインシュタイン公式

(2)  $S(\rho_{\text{BH}})$ , QESが実際にBHの内部にあらわれることを示す必要がある

→ 簡単に示すことができる系として 2次元のJT重力がある。

## アインシュタイン領域 I について

(1) I が "ローカル" 放射  $H_R$  と独立でない。



⇒ もし独立だと仮定すると、**ファイナルパラドクス**

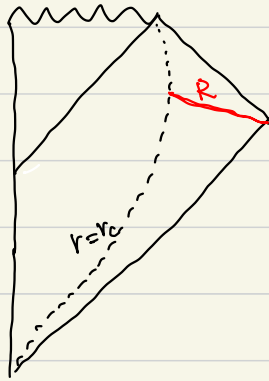
～ ER=EPR 仮説

(2) 具体的に、どのように  $H_R$  から  $I$  を再構成すれば良いのか？

(ハイブにすると因果律がやぶれてしまう)

⇒ **研究の最前線：みんなで研究しよう！！**

# A more general setup.



(1) An **evaporating BH**, due to Hawking radiation.

(2) Semi-classical:  $(g_{\mu\nu}, |\psi\rangle_{\text{QFT}})$

(3) Compute

the entropy of Hawking radiation  $S(p_R)$

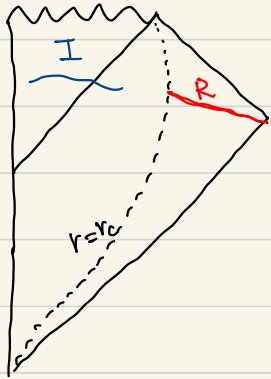
||

The entanglement entropy of  $|\psi\rangle_{\text{QFT}}$  on  $R$   
in the presence of **dynamical gravity**.

$$R: r_c < r < \infty$$

= a Bath collecting  
the Hawking Quanta

# The island formula (Pennington, Albeirri et al, ...)



$$S(p_R) = \min_I \text{ext} \left[ \frac{A(\partial I)}{4G} + S_{\text{QFT}}(I \cup R) \right]$$

Here :

$I$  : some region in the BH.

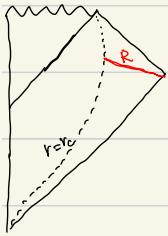
$S_{\text{QFT}}(I \cup R)$  : EE of the state  $|\psi\rangle$  in QFT

The island : the region which extremize the entropy functional

# How it works

(1)  $t < t_{\text{page}} = S_{\text{BH}}/2$

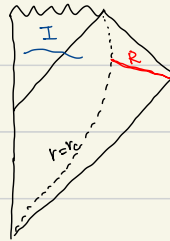
$\Rightarrow I$  : empty



$S(P_R) = S_{\text{OFT}}(R)$   
= the Hawking's result

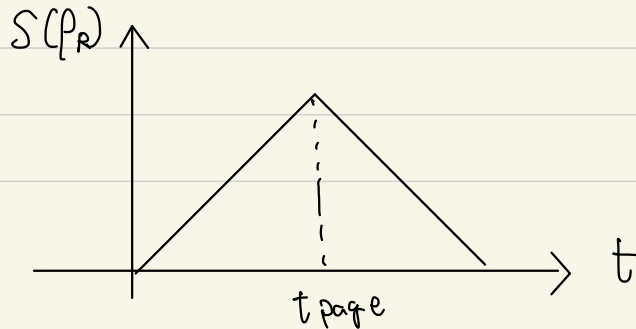
(2)  $t > t_{\text{page}}$

$\Rightarrow$  Nontrivial island forms



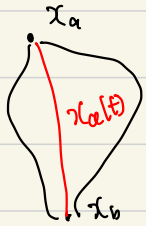
$S(P_R) = \frac{A(\partial I)}{4G_N} = S_{\text{BH}}$

$\Rightarrow$



This entropy curve is consistent with unitarity

# Path integral and its saddle



$$\text{In QM: } \langle x_a | e^{iHt} | x_b \rangle = \int Dx e^{+iS_{\text{particle}}[x(t)]} / \hbar$$

$$\begin{aligned} \hbar \rightarrow 0 \\ \rightarrow e^{iS_{\text{particle}}[x_{cl}(t)]} / \hbar \end{aligned}$$

$$\text{where } \left. \frac{\delta S}{\delta x} \right|_{x=x_{cl}(t)} = 0 \quad (\text{EoM})$$

• In gravity  $\int Dg_{\mu\nu} \int \mathcal{D}\phi e^{-S_{\text{EH}}[g_{\mu\nu}] - S_{\text{matter}}[\phi]}$

$$= \sum_{\{g_{\alpha\beta}\}} e^{-S_E[g_{\alpha\beta}]} Z_{\text{QFT}}[g_{\alpha\beta}] \quad \left. \frac{\delta S_{\text{tot}}}{\delta g} \right|_{g_{\alpha\beta}} = 0$$

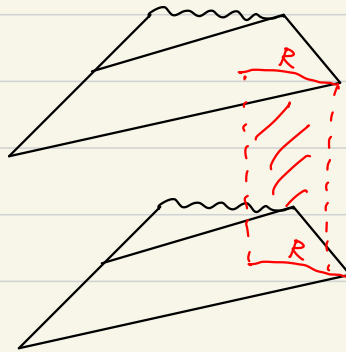
# A derivation of the island formula

(1) Use the replica trick,

$$\frac{S(\rho_R)}{-\text{tr}'' \rho_R \log \rho_R} = \lim_{n \rightarrow 1} \frac{1}{1-n} \log \text{tr} \rho_R^n = \int Dg_{\mu\nu} e^{-S[g_{\mu\nu}]} = \sum_{\{g_{\mu\nu}\}} e^{-S[g_{\mu\nu}]}$$

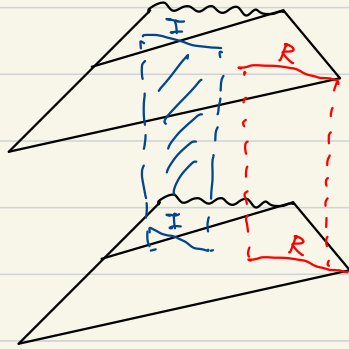
(2)  $\text{tr} \rho_R^n$  has a path integral expression on

Ex:  $\text{tr} \rho_R^2$  :



Two copies are glued along  $R$

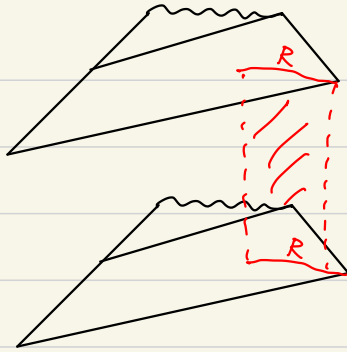
(3) In the presence of dynamical gravity, we also need to include the contribution of the replica wormhole,



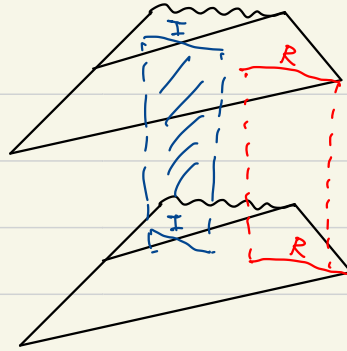
$\text{tr } \rho_R^2$  = The sum of these two contributions.

$$\text{tr} \rho_R^2$$

$\approx$



+



Hawking's  
result

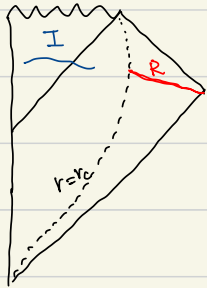
+

Corrections

• A similar computation for  $\text{tr} \rho_R^n \Rightarrow$  the Island formula

# an Interpretation of the island

(1) The region in the BH reconstructable from **Hawking radiation**



⇒ { A geometric manifestation of **Hayden Preskill**  
Actual recovery involves **Petz map**

(2) Microscopically, it captures **random fluctuations in the DM of HR**

⇒ In gravity, such random fluctuations

⇒ **(Euclidean) Wormholes** (in our case, replica WH)

# Averaging the entropy (2)

- Why the behavior of the entropy changes after the Page time?

$$\overline{S(P_R)} \neq S(\overline{P_R})$$

$$\overline{P_R} = \frac{1}{d_R} \sum_{i=1}^{d_R} |i\rangle\langle i| \Rightarrow S(\overline{P_R}) = \log d_R.$$

$$P_R = \frac{1}{d_R d_{\text{BH}}} \sum_{i=1}^{d_R} \sum_{\alpha=1}^{d_{\text{BH}}} C_{\alpha,i} C_{\beta,j}^\dagger |i\rangle\langle j|$$

$$= \overline{P_R} + \delta P_R$$

the Accumulation of random fluctuations changes the entropy  $t > t_{\text{page}}$

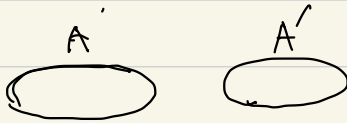
# Going back to gravity (1)

- In a theory of gravity,

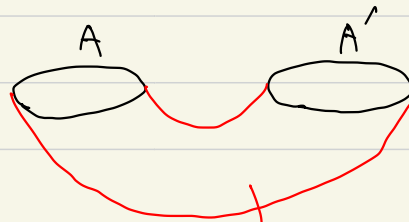
The random fluctuations = Wormholes

(Coleman, Hawking  
GS, MM ... SSS)

⊙ What is a wormhole?  $\Rightarrow$  A geometric connection between two systems



$\Rightarrow$



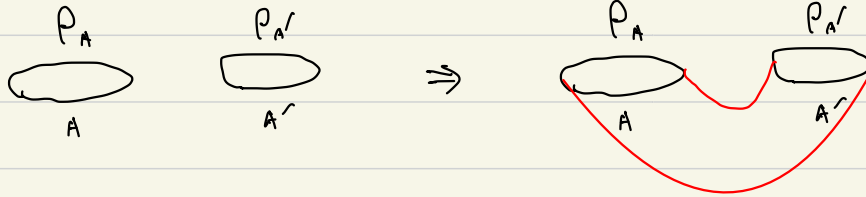
↓ Wormhole

Two disjoint systems

# Going back to gravity (2)

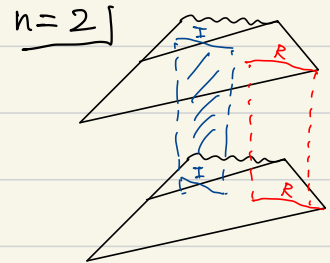
• An intuitive understanding:

RFs  $\Leftrightarrow$  Correlations  $\Leftrightarrow$  Wormholes



$\text{tr}[(\rho_A \otimes \rho_{A'}) (\sigma_A \otimes \sigma_{A'})] \neq \text{tr}[\rho_A \sigma_A] \text{tr}[\rho_{A'} \sigma_{A'}] \Rightarrow$  A geometric connection between A and A'

• RFs in  $\overline{\text{tr} \rho_P^n} \Rightarrow$  a Replica wormhole



This justifies the island formula.

$$\overline{\text{tr } \rho_R^2} = \frac{1}{d_R^2 d_{\text{BHC}}^2} \sum_{i,j=1}^{d_R} \sum_{\alpha,\beta=1}^{d_{\text{BHC}}} \overline{C_{\alpha i} C_{\alpha j}^+ C_{\beta j} C_{\beta i}^+}$$

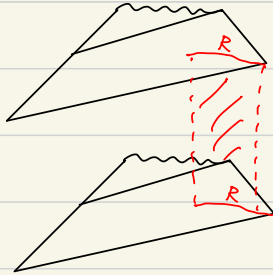
$$= \frac{1}{d_R^2 d_{\text{BHC}}^2} \sum_{i,j=1}^{d_R} \sum_{\alpha,\beta=1}^{d_{\text{BHC}}} \overbrace{C_{\alpha i} C_{\beta j}^+}^{\text{---}} \overbrace{C_{\beta j} C_{\alpha i}^+}^{\text{---}} + \overbrace{C_{\alpha i} C_{\beta j}^+ C_{\beta j} C_{\alpha i}^+}^{\text{---}}$$

$g \downarrow$

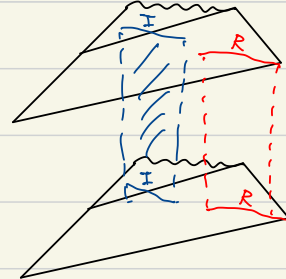
$\downarrow$

in gravity

=



+



(Trivial Saddle)

(Replica Wormhole)

=

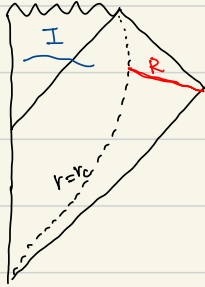
$$\frac{1}{d_R}$$

+

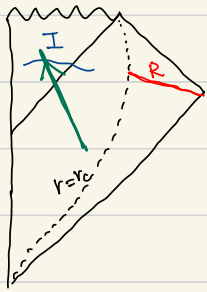
$$\frac{1}{d_{\text{BHC}}}$$

Information recovery  
through the island.

# An interpretation of the island



an Island = a region in the BH  
reconstructable from Hawking radiation  $H_R$   
when  $t > t_{\text{page}}$ .



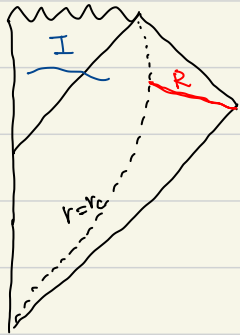
• A gedanken experiment: Sending a diary into the BH

⇒ It will enter to the island ⇒ belongs to  $H_R$

⇒ Geometric understanding of Hayden Preskill

time delay between I and R ⇒ The scrambling time

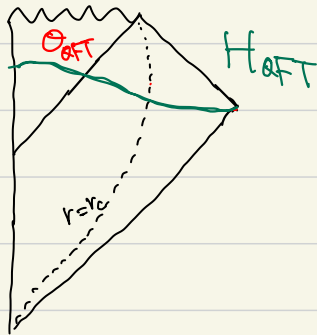
# Information recovery



- How does the reconstruction works?

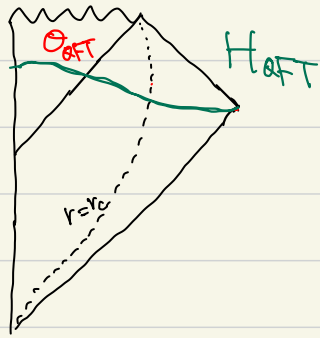
- Take a QFT on the fix BH background

Any operator  $\mathcal{O}_{\text{QFT}}$  in the island region must be reconstructable from  $H_R$



This is achieved by **Petz map**.

# Petz map (1)



$H_{\text{sub}}$

(I) Embed  $H_{\text{QFT}}$  to the larger space  $H_{\text{QG}} = H_{\text{R}} \otimes H_{\text{BH}}$

$$V: H_{\text{QFT}} \rightarrow H_{\text{BH}} \otimes H_{\text{R}}$$

$$|a\rangle_{\text{QFT}} \rightarrow |\Psi_a\rangle = \sum_{i=1}^{d_{\text{R}}} |\psi_{ia}\rangle_{\text{BH}} \otimes |i\rangle_{\text{R}}$$

## Remarks

(1) the QFT state is a slightly excited state on the BH

$$(2) \sum_{\alpha=1}^{d_{\text{BH}}} \sum_{i=1}^{d_{\text{R}}} C_{i\alpha} |\psi_{\alpha}\rangle_{\text{BH}} |i\rangle_{\text{R}} \equiv \sum_{i=1}^{d_{\text{R}}} |\psi_i\rangle_{\text{BH}} \otimes |i\rangle_{\text{R}}$$

The new basis is not orthogonal,  $\langle \psi_i | \psi_j \rangle = \sum_{\alpha=1}^{d_{\text{BH}}} C_{i\alpha} C_{j\alpha} = \delta_{ij} + R_{ij}$

# Petz map (2)

(II) Under the embedding, a QFT operator is mapped to

$$V : H_{\text{QFT}} \longrightarrow H_{\text{BH}} \otimes H_{\text{R}}$$

$$O_{\text{QFT}} = \sum_{a,b=1}^{d_{\text{code}}} \langle a | O_{\text{QFT}} | b \rangle |a\rangle\langle b| \longrightarrow \mathcal{O} = \sum_{a,b} \langle a | O_{\text{QFT}} | b \rangle |\Psi_a\rangle\langle\Psi_b|$$

↓  
acts on both  $H_{\text{R}}$  and  $H_{\text{B}}$

The goal: Construct  $\mathcal{O}_{\text{R}}$  acting only on  $H_{\text{R}}$ , st

$$\langle \Psi_a | \mathcal{O}_{\text{R}} | \Psi_b \rangle = \langle a | O_{\text{QFT}} | b \rangle$$

# A comment

- This is just a usual quantum error correction procedure,

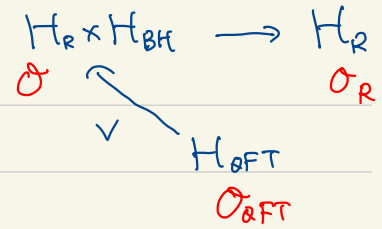
with the Quantum channel:  $H_{\text{code}} \xrightarrow{V} H_{\text{BH}} \otimes H_{\text{R}} \xrightarrow{\text{Erasure}} H_{\text{R}}$



$H_{\text{QFT sub}}$

- Information recovery of the BH interior from Hawking radiation  $H_{\text{R}}$   $\iff$  Quantum error correction against the erasure (tracing out the BH dof)

# Petz map



Such  $\mathcal{O}_R$  can be constructed,

$$\mathcal{O}_R = \sigma_R^{-\frac{1}{2}} \text{Tr}_{BH} [\mathcal{O}] \sigma_R^{-\frac{1}{2}}$$

$$\left\{ \begin{array}{l} \mathcal{O}_{\text{RHR}} = \sum_{a,b}^{d_{\text{code}}} \langle a | \mathcal{O}_{\text{RFT}} | b \rangle |\Psi_a\rangle \langle \Psi_b| \\ \sigma_R = \text{tr}_{BH} [V V^\dagger] = \text{tr}_{BH} [\Pi_{\text{Proj}}] \end{array} \right.$$

- $\Rightarrow$
- Acting only on  $H_R$
  - Satisfy  $\langle \Psi_a | \mathcal{O}_R | \Psi_b \rangle = \langle a | \mathcal{O}_{\text{RFT}} | b \rangle$

# Gravity point of view

"west coast paper"  
(1911.11977)

$$\bullet \mathcal{O}_R = \frac{1}{d_R} \sum_{ij} |i\rangle_R \langle j| \sum_{ab=1}^{d_{\text{code}}} \langle \psi_{ia} | \psi_{jb} \rangle_{\text{BH}} \mathcal{O}_{ab}$$

$$\bullet \langle \psi_{ia} | \psi_{jb} \rangle_{\text{BH}} = \sum_{\alpha=1}^{d_{\text{BH}}} C_{\alpha}(ia) C_{\alpha}^{\dagger}(jb) \Rightarrow \text{We need a worm hole}$$

$$\bullet \langle \Phi_a | \mathcal{O}_R | \Phi_b \rangle \rightarrow \langle \Phi_a | \sigma_R^n \text{Tr}[O] \sigma_R^n | \Phi_b \rangle, \quad n \rightarrow -\frac{1}{2}$$

$$= \frac{1}{d_R^{2n+2}} \sum_{\{i_R, I_R\}} \sum_{\{a_R, b_R\}} \left( \prod_{R=1}^n \langle \psi_{i_R a_R} | \psi_{i_{RH}, a_R} \rangle \right) \left( \sum_{a'_R, b'_R} \langle \psi_{i'_R a'_R} | \psi_{I'_R b'_R} \rangle \mathcal{O}_{a'_R b'_R} \right)$$

$$\left( \prod_{R=1}^n \langle \psi_{I_R b_R} | \psi_{I_{RH}, b_R} \rangle \right)$$

$\Rightarrow \sum_{2n+2}$  symmetric  
replica wormhole

$\Rightarrow$   $\left\{ \begin{array}{l} d_R < d_{\text{BHT}} : \text{ no wormholes } \Rightarrow \text{ the Petz map fails} \\ d_R > d_{\text{BHT}} : \text{ wormholes } \Rightarrow \text{ succeed} \end{array} \right.$

$$\langle \Psi_a | \mathcal{O}_P | \Psi_b \rangle = \langle a | \mathcal{O}_{in} | b \rangle$$

# Summary

(1) Random fluctuation of  $\rho_R$  is important to obtain a Page curve.

(2) In a theory of gravity, averaging over random fluctuation is captured by including worm holes to the gravitational path integral

⇒ Island formula

(3) Information recovery ⇒ Petz map

# Future prospects

- (1) Can we see unitary time evolution from other quantities ?? (Ex: S matrix?)
- (2) How the geometry of the BH interior is encoded in  $H_R$ ?  $\Rightarrow$  We need a detailed study of Petz map
- (3)